

シンプル生理学 改訂第8版 第1刷 正誤表

下記の箇所に誤りがありました。謹んでお詫びし訂正いたします。

頁	行, 箇所	訂正前	訂正後
p26	「表2-1 末梢神経線維の分類」		別紙①に差し替え
p36	「表3-1 感覚の種類」 「深部感覚」の行	ゴルジ腱紡錘	ゴルジ腱 <u>器官</u>
p38	「表4-1 筋肉の分類とその特徴」 「筋の構造」の行		「横紋」の模式図と「横紋, 合胞体」の模式図を入れ替える
	「表4-1 筋肉の分類とその特徴」 脚注として追加		各筋肉の特徴については, p56, 図4-27として図示した.
p55	本文 下から4行目と5行目	徐派	徐 <u>波</u>
p56	本文 上から10行目	伸展刺激によりか開口し,	伸展刺激により <u>開口し</u> ,
	本文 上から15行目に追加		流入した Ca^{2+} が小胞体のリアノジン受容体を介して Ca^{2+} 放出する機序もある.
	「図4-27 骨格筋, 心筋および平滑筋における活動電位と収縮張力の関係」		別紙②に差し替え
p59	本文 上から3行目	脊椎管	脊柱管(脊椎管)
p60	本文 下から2行目	これを筋節(サルコメア)という	これを筋節(ミオトーム)という
	本文 下から11行目の見出し	3. 皮膚節と筋節	3. 皮膚 <u>分節</u> と筋 <u>分節</u>

p62	「表 5-1 脳神経とその機能」 「VII」 「顔面神経」 「内臓求心性線維」 の行, 「機能」の列	舌の前 2/3 の味覚	舌の前 2/3 の味覚, <u>軟口蓋の味覚</u>
p80	「図 6-25」 「半規管膨大部稜 (A.)」 の図中文字	ゼラチン様物質 (耳石膜)	ゼラチン様物質 (<u>クプラ</u>)
p84	本文 上から 13~14 行目	新しい研究では苦みは舌根部よりも舌尖部で閾値が低いことがわかった。うま味についてはいまだ不明である。	2000 年以降の研究により舌全体の味蕾が 5 種の味覚受容器を持つ味細胞を持っていることが明らかにされた。
	本文 下から 1~2 行目	新皮質中心後回基底部の顔面からの皮膚感覚感受部位に至る (図 6-33)。	新皮質中心後回の体性感覚野の下部に接した部位にある一次味覚野 (プロードマンの 43 野, 図 9-14 参照) に至る。
	「図 6-33 味覚の伝導路」 の図中文字	大脑皮質 半月神経節	大脑皮質一次味覚野 <u>下神経節</u>
p86	本文 上から 14~15 行目	A δ 線維である。	A δ 線維と無髓の C 線維である (図 6-36, 表 2-1 参照)。
p88	図 6-38 「延髄」 の部分	楔状束核	<u>薄束核</u>
		薄束核	楔状束核
p94	本文 下から 5 行目	皮膚節	皮膚分節
	本文 下から 5~6 行目	皮膚節の規則	皮膚分節の規則
p97	表 7-2 α_2 受容体の特徴	Gi, cAMP ↑	Gi, cAMP ↓
p106	本文 下から 2 行目	II, III, IV 群以下の細い線維で	II, III, IV 群の細い線維で
p108	本文 上から 3 行目	(図 8-6 参照)。	(図 8-5 参照)。
	「図 8-7 バビンスキー反射」 B. のタイトル	B. 錐体外路障害	B. 錐体路障害

p111	本文 上から 3 行目に一文を追加		<u>両側前庭迷路機能障害者では、床面が傾いても前庭迷路反射が起こらないので、身体の平衡と頭位の回復ができず、転倒してしまう（図 8-13b）。</u>
p115	本文 上から 8 行目と 11 行目の冒頭	線状体	線 <u>条</u> 体
p133	本文 上から 9 行目	穿通枝を通って	貫通枝を通って
	本文 上から 12 行目	この機序に 1 章で述べた LTD 現象が	この機序に <u>2</u> 章で述べた LTP 現象が
	「図 9-20 海馬の模式図」	穿通枝	貫通枝
p151	「図 10-16 視床下部ホルモンの構造と産生細胞の存在部位」 脚注	ペプチドは、左端が N 末端、右端が C 末端を表す。	<u>この図ではペプチド配列は左端の C 末端から右端の N 末端に向かって示されている。</u>
p219	本文 下から 9~10 行目	下腹神経と陰部神経は内・外肛門括約筋を収縮させ、骨盤神経は内肛門括約筋を弛緩させる。	下腹神経と陰部神経の興奮は内・外肛門括約筋を収縮させ、骨盤神経の興奮は内肛門括約筋を弛緩させる。
p268	本文 上から 16 行目	血管の直径の 4 乗	血管の半径の 4 乗
p287	本文 下から 3, 4, 6 行目	機能的残基量	機能的残 <u>氣</u> 量
	「図 16-9 肺と胸壁の圧-容量関係」の図 中文字と解説文	機能的残基量	機能的残 <u>氣</u> 量
p293	「図 16-14C ヘモグロビンの酸素解離曲線に対する血液の温度の影響」	10°, 20°, 38°, 43°	10°C, 20°C, 38°C, 43°C

(2023 年 1 月 株式会社南江堂)

表 2-1 末梢神経線維の分類

髓鞘	Erlanger/ Gasser の分類		直径 (μm)	伝導速度 (m/sec)	Lloyd/Hunt の 分類	主な機能
有髓	A	α	12~21	70~120	Ia	骨格筋の運動神経線維
					Ib	筋紡錘の一次（らせん）感覚神経線維
		β	6~12	40~70	II	ゴルジ腱器官の感覚神経線維
		γ	4~8	15~40		皮膚の触圧覚の感覚神経線維 筋紡錘の二次（散形）感覚神経線維
	B	δ	1~6	5~15	III	筋紡錘の運動神経線維
			1~3	3~14		皮膚の温度覚・痛覚・触圧覚の感覚神経線維, 皮膚の自由神経終末からの感覚神経線維
無髓	C		0.2~1.0	0.2~2	IV	自律神経節前線維 自律神経節後線維 皮膚の温度覚・痛覚の感覚神経線維

(従来一之ほか編：やさしい生理学、第7版、南江堂、2017を参考に作成)

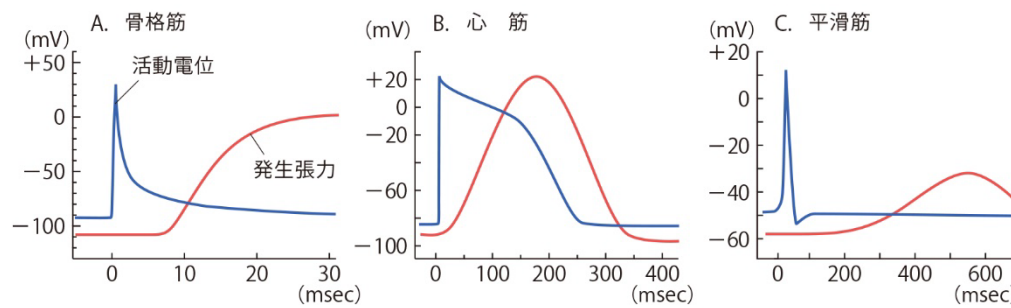


図 4-27 骨格筋、心筋および平滑筋における活動電位と収縮張力の関係
(A : A.L.Hodgkin と P.Horowicz, 1957 より, B : C.M.C.Brooks ら, 1955 より, C : J.M.Marshall, 1962 より)